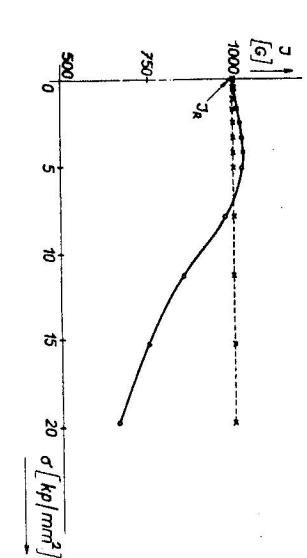
DEN REMANENTEN MAGNETISCHEN ZUSTAND EINFLUS DER ZYKLISCHEN BELASTUNG AUF EISERNER DRÄHTE

JURAJ DANIEL SZABÓ, LADISLAV POTOCKÝ, Košice

um ähnliche Effekte wie bei der zyklischen unsymmetrischen Ummagnetisienung durch die irreversibilen Magnetisierungsänderungen überlagert, die sänderungen werden bei Abnahme bzw. Anlegung der mechanischen Zugspanremanenten Zustand der Fe-Proben verfolgt. Die reversibilen Magnetisierungmechanischen Spannung im Bereich der elastischen Deformation auf tation-Erscheinung erklärt werden können. Die gewonnenen experimentellen rung eines Ferromagnetikums, die mittels der Néelschen Theorie der Reperfüllen und von der angelegten Spannung abhängig sind. Es handelt sich besonders für höhere Werte von n die lineare Abhängigkeit von $|\cdot|$ lg n gut Art, wie dieser erreicht wird, wesentlich das Vorzeichen sowie die Größe der Ergebnisse bestätigen, daß die Wahl des Anfangzustandes sowie auch die irreversibilen Magnetisierungsänderung beeinflussen. In der Arbeit wird der Einfluß der zyklischen Abnahme und Anlegung der

EINLEITUNG

remanenten Zustand der Fe-Drähte im Bereich der elastischen Deformadieser Arbeit [1] hat den Einfluß der mechanischen Spannungen auf den magnetischen Eigenschaften der Ferromagnetika. Einer von den Autoren dabei markant und charakteristisch ändert. Abb. 1 zeigt diese Abhängigkeit tion untersucht und hat gezeigt, daß sich die remanente Magnetisierung Unter dem Einfluß der mechanischen Spannungen ändern sich markant die



wahren Remanenz von der an-Abb. 1. Die Abhängigkeit der gelegten Spannung σ .

solcher Weise erreichten Zustände die Spannung im Bereich der elastischen anfänglichen remanenten Zustände anders ausgebildet wurden und auf die in de wahre remanente Zustand als Ausgangszustand gewählt wurde. Falls die für den Fall, wenn der am sinkenden Ast der extremen Hystereseschleife liegenauch quantitativ verschieden, in Abhängigkeit von der Art der Ausbildung des anfänglichen remanenten Zustandes. Deformation aufgelegt wurde, ändert sich die Magnetisierung qualitativ sowie

zyklischen Anlegung und Abnahme der mechanischen Zugspannung im Bereich Studiums des Einflusses der periodisch angelegten Spannungen bzw. Stöße tisch nicht vollzogen. Bekannt sind einige Ergebnisse des experimentellen untersuchen. Solche Messungen wurden bisher — unseren Wissens — systemader elastischen Deformation auf den remanenten Zustand der Fe-Drähte zu auf den magnetischen Zustand der sich im Magnetfeld befindenden Ferromagnerungsänderungen, die von dem angewendeten Magnetfeld, der Zahl der Zyklen, rungsänderungen, die mit der Abnahme bzw. Anlegung der Spannung verbuntika [2-6]. Diese Meßergebnisse zeigen, daß sich die irreversibilen Magnetisieden sind, überlagern. Es fehlt bisher ein zusammenfassender Einblick in den bzw. von der angelegten Spannung abhängig sind, den reversibilen Magnetisie-Ursprung und die Gesetzmäßigkeiten dieser Erscheinung. In diesem Zusammenhang zeigte es sich zweckmäßig, auch den Einfluß der

PROBEN UND MESMETHODE

C = 0.0547 %, Mn = 0,42 %, Si unter 0,01 %, P = 0,015 %, S = 0,019 %. Cu -0.225 %, Cr -0.013 %, Al -0.011 %, N -0.0016 %, $0_2-0.0236$ %. chend wärmebehandelt. Die chemische Zusammensetzung der Proben¹): $1.5~\mathrm{mm}$ Durchmesser verwendet. Vor der Messung wurden die Proben entspremagnetische Charakteristiken der Proben untersucht: Elastizitätsgrenze $\mathrm{H_2} = 0{,}00032~\%$. Es wurden auch folgende grundlegende mechanische und $23,5~\mathrm{kp/mm^2},$ Festigkeitsgrenze $37,0~\mathrm{kp/mm^2},$ Koerzitiv
feldstärke $2,8~\mathrm{Oe},$ wahre Zu den Experimenten wurden drahtförmige Proben von 344 mm Länge und

Remanenz 1070 Gauß. der Probe aufgelegten Abtastspule wurde der dem Sprung von diesem in den ten Probe wurde ballistisch bestimmt: mit Hilfe einer kleinen, in der Mitte Mit Rücksicht auf die geometrischen Dimensionen der angewendeten Proben Sättigungszustand entsprechende Ausschlag des Galvanometers gemessen. Die magnetische Induktion in den einzelnen Zuständen der aufmagnetisier-

Praha, durchgeführt. 1) Die chemische Analyse der Proben wurde durch Výzkumní ústav hutníctví železa,

konnte der Entmagnetisierungseffekt der freien Enden auf den magnetischen von dem Verhältniss $J=B/4\pi$ berechnet werden. Zustand in der Mitte vernachlässigt und die entsprechende Magnetisierung

te es sich entweder um den wahren, oder um die anderen, geeignet ausgebildeten der Probe ausgebildet wurde; nach den Bedingungen des Experimentes handel-Ausgangszustände. Dann haben wir auf die Probe die Zugspannung σ aufgewerden für den n-ten Zyklus mit $J_{\sigma,n}$ und in dem erleichterten Zustand mit Meßverfahren wurde diese Spannung periodisch herabgenommen bzw. aufelegt. legt, die eine elastische Deformation hervorgerufen hat. Bei dem folgenden Die Magnetisierungswerte in den Zuständen mit der aufgelegten Spannung der Spannung σ auf den remanenten Zustand gewonnenen Anfangszustand $J_{\mathfrak{d},n}$ bezeichnet; $J_{\mathfrak{d},\mathfrak{d}}$ heißt dabei die Magnetisierung in dem durch die Anlegung chenden Magnetisierungsänderungen werden dann und $J_{0,0}$ die Magnetisierung nach der Abnahme dieser Spannung. Die entspre-Das Meßverfahren wurde so ausgewählt, daß zuerst der remanente Zustand

$$\Delta J_{\sigma,n} = J_{\sigma,n} - J_{\sigma,0}; \quad \Delta J_{0,n} = J_{0,n} - J_{0,0}$$

bezeichnet.

war es nötig vor jedem Messen den Anfangszustand wieder herzustellen. Die Messungen haben gleichzeitig gezeigt, daß die Ausbildung des Anfangszustandes im Bereich der elastischen Deformation gut reproduzierbar ist. Mit Rücksicht auf die angewendete Methode der Sprünge in die Sättigung

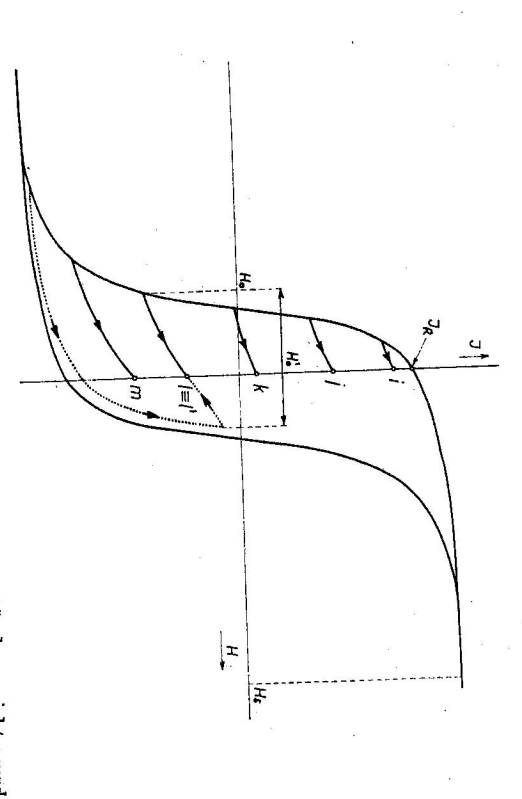


Abb. 2. Schematische Abbildung, wie die einzelnen Ausgangszustände erreicht wurden.

wurde in einem genügend starkem Magnetfeld praktisch in die Sättigung und nach dem Abschalten desselben in den remanenten Zustand gebracht. Zur Sättigung der Probe wurde das Feld $H=454~\mathrm{Oe}$ verwendet. Wie die Konnenten Zustände wurden so erreicht, daß das negative Feld H_0 auf die in dem Magnetisierung ihren höchsten Wert erreichen zu lassen. Die übrigen rematrollmessungen gezeigt haben, dieses Feld war hinreichend dazu, die remanente wahren remanenten Zustand sich befindende Probe angewendet und darach den mit Hilfe des H_0 Feldes erreichten Zustand ein weiteres, positives Feld dieses Feld zu Null gebracht wurde (Zustände i,j,k,l,m in Abb. 2) bzw. an remanente Zustand erreicht wurde (Zustand l' in Abb. 2). $H_0'(|H_0'|>|H_0|)$ angewendet und nach Abschalten dieses Feldes der weitere Der wahre remanente Zustand wurde wie üblich erreicht, d. h. die Probe

DIE MEßERGEBNISSE UND DISKUSSION

stand gewählt wurde, sind in den Abb. 3-7 aufgetragen. In Abb. 3 wird scheder Spannung, für verschiedene Werte der Spannung σ aufgetragen. Besseren matisch die gemessene Abhängigkeit der Magnetisierung $J_{0,n}$ bzw. $J_{\sigma,n}$ von Die Meßergebnisse für den Fall, wenn die wahre Remanenz als Ausgangszu-

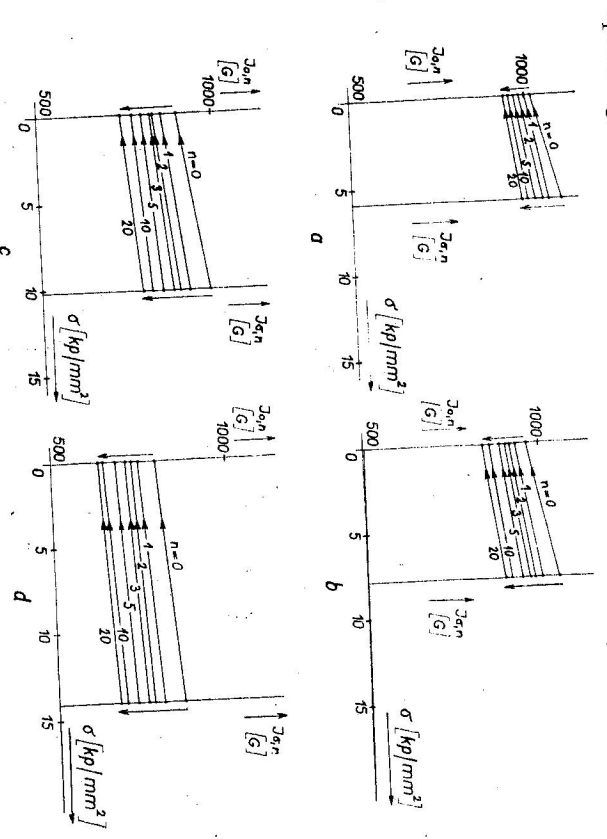


Abb. 3. Schematische Darstellung der Magnetisierungszyklen im Laufe der zyklischen Belastung der Probe, für verschiedene Werte der mechanischen Zugspannung $\sigma.$

Anschaulichkeit wegen werden die Magnetisierungszyklen nur für den Übergang von dem belasteten in den unbelasteten Zustand eingetragen, und zwardurch gerade Linien.

Die Meßergebnisse zeigen, daß der Prozeß der zyklisch abgenommenen und angelegten Spannung zu allmählich irreversibilen Änderungen der Magnetisierung $J_{0,n}$ bzw. $J_{\sigma,n}$ des remanenten Zustandes führt. Es ist bemerkenswert, daß in allen beobachteten Fällen zur systematischen Abnahme der Magnetisierung kommt, sowohl im belasteten als auch im unbelasteten Zustand, abgesehen davon, ob die erste Anwendung der Spannung σ einen Zuwachs (Abb. 3a im Vergleich mit Abb. 1 für Spannungsbereich 0-7 kp/mm²) oder eine Abnahme der Magnetisierung (Abb. 3d im Vergleich mit Abb. 1, für Spannungen 7-20 kp/mm²) zur Folge hat.

In Abb. 4 sind die Magnetisierungsänderungen $AJ_{0,n}$ bzw. $AJ_{\sigma,n}$ gegen den Anfangszustand $J_{0,0}$ bzw. $J_{\sigma,0}$ in Abhängigkeit von der Zahl der Zyklen für

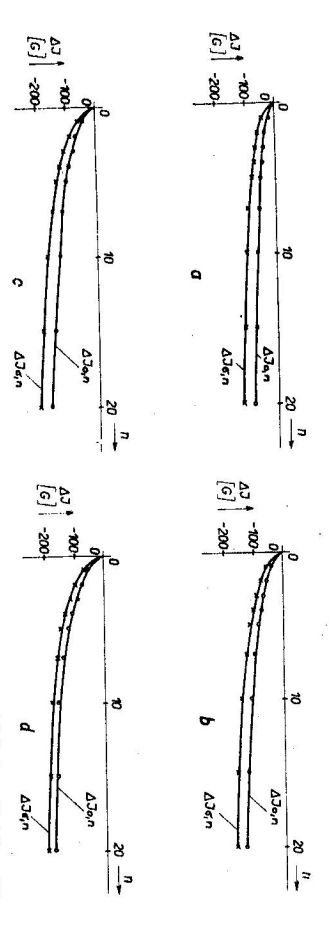


Abb. 4. Die Abhängigkeit der Magnetisierungsänderung von der Zahl der Zyklen für verschiedene Werte der angelegten Spannung: a) $\sigma=5.95$ kp/mm²; b) $\sigma=7.92$ kp/mm²; c) $\sigma=10.2$ kp/mm², d) $\sigma=14.15$ kp/mm².

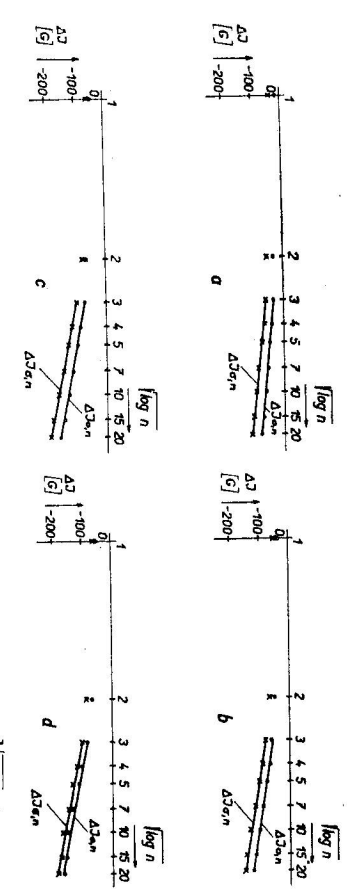


Abb. 5. Die Abhängigkeit der Magnetisierungsänderung von $\sqrt{\lg n}$

verschiedene Spannungen aufgetragen. Bei kleineren Werten von n (1, 2, 3) ist die Änderung der Magnetisierung in den Endpunkten $\sigma=0$ und $\sigma>0$ verschieden, für höhere n $(n\geqslant 4)$ ist diese schon an den beiden Enden praktisch verschieden, für höhere n $(n\geqslant 4)$ ist diese schon an den beiden Enden praktisch gleich. Abb. 5 zeigt, daß die Abhängigkeiten $AJ_{0,n}$ bzw. $AJ_{\sigma,n}$ von $\sqrt{\lg n}$ für höhere Werte von n (n>3) linear sind. Daß die Magnetisierungsänderungen im here Werte von n unbelasteten Zustand für höhere Werte von n prakbelasteten sowie auch im unbelasteten Zustand für höhere Werte von n prakbelasteten sowie auch im unbelasteten Zustand für höhere Werte von n prakbelasteten sowie auch im unbelasteten Zustand für höhere Werte von n prakder die Abhängigkeiten $AJ_{0,n}^*$ bzw. $AJ_{\sigma,n}^*$ von $\sqrt{\lg n}$ aufgetragen sind; $AJ_{0,n}^*$ = $J_{0,n} - J_{0,3}$; $A_{0,n}^* = J_{\sigma,n} - J_{\sigma,3}$.

= J_{0,n} - J_{0,3}, L_{0,6}, n - J_{0,8} Agnetisierungsänderungen wird durch die Die Größe der irreversibilen Magnetisierungsänderungen wird durch die Größe der angewendeten Spannung beeinflußt, wie dies – bei dem gegebenen Anfangszustand sowie der Zahl der Zyklen – aus der Abb. 7 deutlich sichtbar

Die oben angeführten experimentellen Ergebnisse erweisen, daß sich die Die oben angeführten experimentellen Ergebnisse erweisen, daß sich die zyklische Belastung eines Ferromagnetikums analogisch wie die zyklische zyklische zweischen zwei festen Werten des Magnetunsymmetrische Ummagnetisierung zwischen zwei festen Werten des Magnetunsymmetrische Ummagnetisierung in Erscheinung treten, sind, nach Néel, die sogenannten Ummagnetisierung in Erscheinung treten, sind, nach Néel, die sogenannten Reptation und Bascule-negative-Effekte verantwortlich [7]. Der erste von Riesen Effekten führt zu den auf den beiden Enden der Ummagnetisierungs-

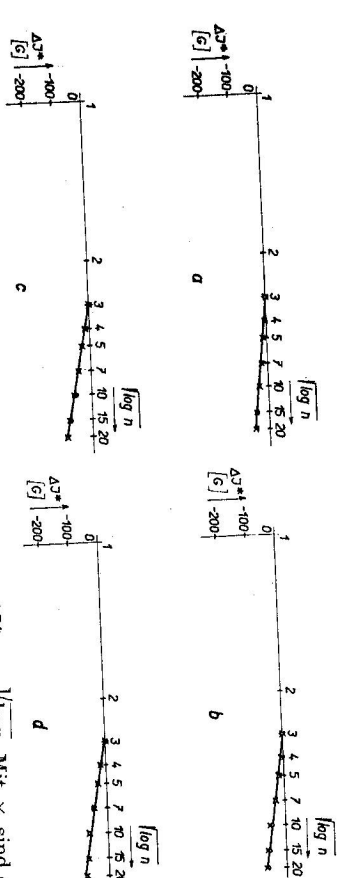
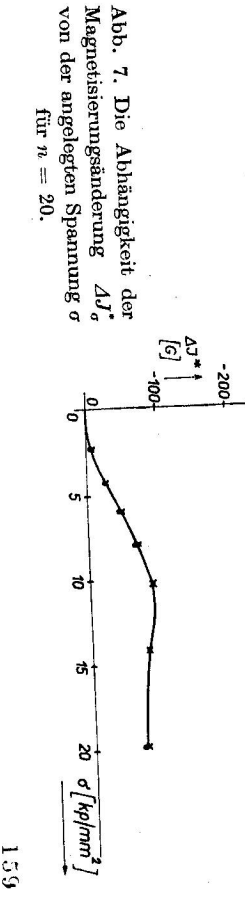


Abb. 6. Die Abhängigkeit der Magnetisierungsänderung ΔJ^* von $\sqrt{\lg n}$. Mit \times sind die Werte $\Delta J^*_{\sigma,n}$, mit \bigcirc die von $\Delta J^*_{0,n}$ bezeichnet.



schleife praktisch gleichen und der $\sqrt{\lg n}$ proportionellen Magnetisierungsänderungen; die andere Erscheinung kommt nur bei kleineren Werten von n zur Geltung und führt zu einer Drehung der Ummagnetisierungsschleife. Man sollte den Ursprung beider dieser Effekte — nach Néel [7] — in einer Wechselwirkung zwischen den ferromagnetischen Domänen suchen. Der Basculenahe liegenden Domänen zusammen; die Reptation-Erscheinung wird durch statistische Theorie als Folge der Wechselwirkungen zwischen einer großen zahl gegenseitig relativ entfernten Domänen dargestellt. Die dem Reptation-Effekt entsprechenden Magnetisierungsänderungen sollen von den sogenamten Reptationsfeldern verursacht werden; es handelt sich um die Dispersionsfelder, Reptationsfeldern vorhergehenden Rückkehr zum Feld H_B — zufällig geändert wird und deren Folge die der $\sqrt{\lg n}$ proportionelle Magnetisierungsänderung

punkten $\sigma=0$ und $\sigma>0$ nicht dieselben und ihre Abhängigkeit von n ist tisierungsänderungen sind bei kleineren Werten von n (1, 2, 3) in den Endzyklischen unsymmetrischen Ummagnetisierung erreicht werden. Die Magnerungsänderungen sind proportional der $/\lg n$. Wir vermuten deshalb, daß den beiden Zuständen $\sigma=0$ und $\sigma>0$ praktisch gleich und die Magnetisierelativ kompliziert; bei höheren n dagegen ändert sich die Magnetisierung in wortlich sind. Der erste Effekt kommt nur bei kleineren Werten von n zu derungen auch bei der zyklischen Belastung eines Ferromagnetikums verant mindestens zwei Effekte für die gemessenen irreversibilen Magnetisierungsän-Geltung und bei den größeren verschwindet; die Gesetzmäßigkeiten dieser angenommenen Erscheinungen ist dem Reptation-Effekt analog. Es scheint uns logisch auch den Ursprung dieser, sich markoskopisch analog äußernder Erscheinung erfordern noch ein ausführlicheres Studium. Die zweite von den wiederholter Anwendung derselben Spannung-nach vorhergehenden Entspanin der Verteilung der inneren Spannungen: so ist die Verteilung dieser nach Belastung verwirklichen sich im Ferromagnetikum bestimmte Änderungen Erscheinung in analogischen Ursachen zu suchen. Im Laufe der zyklischen nung — im allgemeinen verschieden von der Verteilung bei der ersten Anwenzur Folge. So wird die Anordnung wenigstens eines Teiles der Bereiche nach der dung. Diese Veränderungen haben Änderungen auch in der Bereichstruktur zweiten Anwendung derselben Spannung eine andere wie bei der ersten sein. Unsere Messungen führen zu analogischen Ergebnissen wie jene die bei der Diese bei den folgenden Anwendungen der Spannung sich wiederholenden die den Reptationsfeldern analog sind und die im Zusammenhang mit der Änderungen in der Bereichstruktur können zu den Dispersionsfeldern führen,

Néelschen Theorie zu den der $\sqrt{\lg n}$ proportionellen Magnetisierungsänderungen führen.

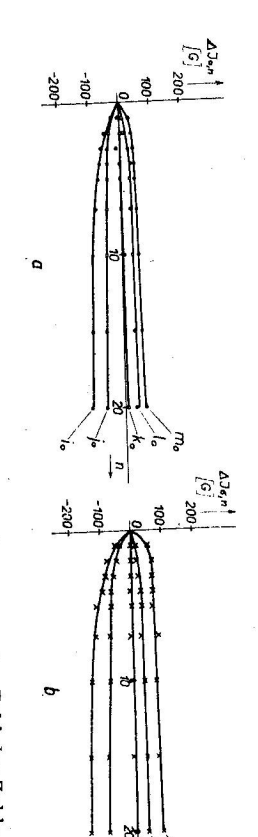


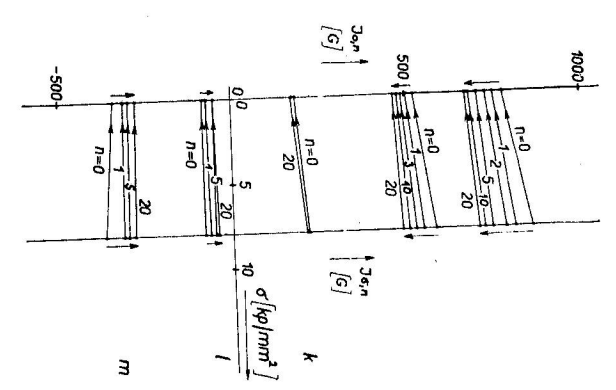
Abb. 8. Die Abhängigkeit der Magnetisierungsänderung von der Zahl der Zyklen für die verschiedenen Anfangszustände bei der Spannung $\sigma=7,92$ kp/mm².

Die Wahl des Anfangszustandes beeinflußt wesentlich die quantitative Äußerung des Reptation-Effektes, wie dies in der Arbeit [8] gezeigt wurde. Ein solcher Einfluß kann auch bei der zyklischen Belastung eines Ferromagnetikums erwartet werden. Zu diesem Zweck haben wir eine Reihe von Experimenten durchgeführt. Wir haben eine Anzahl von verschiedenen remanenten Ausgangszuständen (i,j,k,l,m) ausgebildet, deren Ausbildungsart aus Abb. 2 ersichtlich ist; auf so ausgebildete Zustände wurde die Spannung σ angelegt, die dann zyklisch abgenommen und angelegt wurde. Die entsprechenden

irreversibilen Magnetisierungsänderungen in Abhängigkeit von der Zahl der Zyklen für gegebene Spannung σ und für die verschiedenen zwischen dem abfallenden und ansteigenden Ast der extremen Hysteresechleife liegenden Ausgangszustände werden in Abb. 8 und schematisch in Abb. 9 abgebildet. So folgt aus den Messungen, daß die Art der Wahl des Anfangszustandes die Größe und das Vorzeichen der irreversibilen Änderung der Magnetisierung, sowohl im belasteten als auch im unbelasteten Zustand der Probe, wesentlich

Abb. 9. Schematische Darstellung der Magnetisierungszyklen im Laufe der zyklischen Belastung für die verschiedenen Anfangszustände i, j, k, l, m bei der Spannung $\sigma = 7.92$ kp/mm².

160



161

Abb. 8 und 9), und zwar sowohl im belasteten als auch im entlasteten Zustand. Magnetisierung wachsen (Kurve l, m, Abb. 8 und 9), oder sinken (Kurven i, j, jbeeinflußt. In Abhängigkeit von der Wahl des Anfangszustandes kann die Man kann auch solche Anfangszustände finden, für welche wir praktisch keine Magnetisierungsänderungen gefunden haben (Kurve k).

zustand ausgebildet wird, den Verlauf der beobachteten Erscheinungen gleicher Magnetisierung auszeichnende Anfangszustände (l und l') ausgebildet. Magnetisierungsänderungen für gegebene n und σ zeigte sich in den beiden abgenommen und angelegt wurde. Die Größe der entsprechenden irreversibilen Auf diesen Zustand haben wir eine Spannung σ angelegt, die dann zyklisch beeinflußt. So z. B. mit der in Abb. 2 sichtbaren Art haben wir zwei sich mit Unsere Experimente haben auch gezeigt, daß die Art wie der Ausgangs-

Fällen verschieden. der Magnetisierung bei der zyklischen Belastung beeinflussen; die anfängliche können merklich die Größe und das Vorzeichen der irreversibilen Änderung Anordnung der Bereiche der spontannen Magnetisierung beeinflußt also diese mehr oder weniger stabil gegen die zyklischen Änderungen der mechanischen den einzelnen Anfangszuständen zugehörigen Blochwandkonfigurationen mung mit den Ergebnissen der Arbeit [8] — zu der Schlußfolgerung, daß die Veränderungen wesentlich. Diese Ergebnisse führen — in guter Übereinstimsierunsänderung kann ja auch von anderen Faktoren, wie z.B. von verschiede-Spannungen sind. Die globale bei gegebenen n und σ verwirklichte Magnetinen Hindernissen in der Form von Störungen, Inklusionen usw., die die Bewegung der Blochwände beeinflussen, abhängig sein. Dies würde noch ein weiteres ausführlicheres Studium erfordern. Die Wahl des Anfangszustandes sowie die Art wie dieser erreicht wird,

SCHRIFTTUM

- [1] Potocký L., Dissertation. Naturwissenschaftliche Fakultät der Šafárik-Universität,
- [2] Ewing J. A., Phil. Trans. 176 (1885), 523.
- [3] a) Lliboutry L., Journ. Phys. Rad. 12 (1951), 482 b) Lliboutry L., Thèses, Grenoble 1964.
- [4] Brugel L., Thèses. Grenoble 1964.
- [5] Bozorth R. M., Williams H. J., Rev. Mod. Phys. 17 (1945), 72
- [6] Hajko V., Potocký L., Fyz. čas. SAV 19 (1969), 52.
- [7] a) Néel L., C. R. Acad. Sci. France 244 (1957), 2668.
- b) Néel L., C. R. Acad. Sci. France 246 (1958), 2313, 2963. [8] Daniel-Szabó J., Hajko V., Gengnagel H., Phys. stat. sol. 9 (1965), 201.
- Eingegangen am 10. März 1969

Prírodovedeckej fakulty UPJŠ, Košice Katedra experimentálnej fyziky

Ústav experimentálnej fyziky SAV, Košice